



Laboratorium EMVO Sp. J. Urbański, Pawelak  
ul. Jasna 1  
00-013 Warszawa

tel. +48 22 780 29 64

e-mail: laboratorium@emvo.pl



AB 1630

## Sprawozdanie z pomiarów pól elektromagnetycznych - środowisko nr 105/03/OŚ/2023– P4-W



<b>Nr i nazwa stacji</b>	<b>KIE1022A</b>	
<b>Adres</b>	<b>Kielce, Gwarków 2, pow. Kielce, woj. świętokrzyskie</b>	
<b>Opracowanie</b>	<b>Martyna Karczmarczyk</b>	<b>Specjalista ds. pomiarów</b>
<b>Autoryzacja</b>	<b>Andrzej Urbański</b>	<b>Kierownik Laboratorium</b>
<b>Podpis</b>		
<b>Data</b>	<b>2023-03-31</b>	

## Spis treści

1. Informacje ogólne.....	3
2. Podstawa prawna. ....	3
3. Opis pomiarów.....	4
4. Zróżnicowanie dopuszczalne poziomy pól elektromagnetycznych.....	5
5. Charakterystyka źródeł PEM.....	5
6. Wyniki pomiarów.....	5
7. Stwierdzenie zgodności .....	6
8. Oświadczenie.....	8
9. Spis załączników. ....	9

## 1. Informacje ogólne.

Zleceniodawca	P4 sp. z o.o., ul. Wynałazek 1, 02-677 Warszawa osoba udzielająca informacji- Monika Bieroza
Istotne informacje dostarczone przez klienta	komplet informacji niezbędnych do wykonania pomiarów i opracowania sprawozdania
Dane otrzymane od klienta mogące mieć wpływ na ważność wyników	Dane anten sektorowych, dane anten radioliniowych, parametry pracy instalacji, ustawienie pochylenia anten
Prowadzący instalację	P4 sp. z o.o., ul. Wynałazek 1, 02-677 Warszawa
Lokalizacja obiektu	Kielce, Gwarków 2, pow. Kielce, woj. świętokrzyskie
Miejsce instalacji anten	Komin
Miejsce instalacji urządzeń	Outdoor
Osoby wykonujące pomiar	Jarosław Buząła
Data wykonania pomiaru	31.03.2023
Temperatura na początku pomiaru [°C]	11,0
Temperatura na koniec pomiaru [°C]	11,5
Warunki atmosferyczne	Brak opadów
Wilgotność na początku pomiaru [%]	72,0
Wilgotność na koniec pomiaru [%]	72,5
Godzina na początku pomiaru	12:49
Godzina na koniec pomiaru	14:47
Inne źródła pól elektromagnetycznych oznaczone na załączniku graficznym	Występują
Parametry pracy instalacji	Tryb eksploatacyjny

## 2. Podstawa prawna.

### 2.1 Normy i rozporządzenia:

- Rozporządzeniem Ministra Klimatu z dnia 17 lutego 2020 r. w sprawie sposobów sprawdzania dotrzymania dopuszczalnych poziomów pól elektromagnetycznych w środowisku (Dz.U. 2020 poz. 258)
- Rozporządzenie Ministra Zdrowia z dnia 17 grudnia 2019 r. w sprawie dopuszczalnych poziomów pól elektromagnetycznych w środowisku (Dz.U. 2019 poz. 2448)
- Obwieszczenie Marszałka Sejmu Rzeczypospolitej Polskiej z dnia 29 września 2021 r. w sprawie ogłoszenia jednolitego tekstu ustawy - Prawo ochrony środowiska (Dz.U. 2021 poz. 1973)
- Rozporządzenie Ministra Klimatu i Środowiska z dnia 6 maja 2022 r. zmieniające rozporządzenie w sprawie sposobów sprawdzania dotrzymywania dopuszczalnych poziomów pól elektromagnetycznych w środowisku (Dz.U. 2022 poz. 1121).

„Bez pisemnej zgody Laboratorium niniejsze sprawozdanie nie może być powielane inaczej, jak tylko w całości. Ponadto wyniki dotyczą tylko badanych obiektów przywołanych w niniejszym sprawozdaniu z badań”

### 3. Opis pomiarów

Metodologia pomiarowa	Pomiary w oparciu o Rozporządzeniem Ministra Klimatu z dnia 17 lutego 2020 r. w sprawie sposobów sprawdzania dotrzymania dopuszczalnych poziomów pól elektromagnetycznych w środowisku (Dz.U. 2020 poz. 258) oraz Rozporządzenie Ministra Klimatu i Środowiska z dnia 6 maja 2022 r. zmieniające rozporządzenie w sprawie sposobów sprawdzania dotrzymywania dopuszczalnych poziomów pól elektromagnetycznych w środowisku (Dz.U. 2022 poz. 1121).
Cel badań	Określenie wartości natężenia pola elektrycznego w miejscach dostępnych dla ludności.
Opis zestawu pomiarowego	Miernik Narda NBM 520, Sonda EF 9091, o zakresie pomiarowym 0,7 V/m - 300V/m pracująca w paśmie 0,1 – 90 GHz, świadectwo wydane przez Laboratorium Wzorców i Metrologii Pola Elektromagnetycznego, Instytut Telekomunikacji, Teleinformatyki i Akustyki Politechniki Wrocławskiej. Świadectwo ważne do 07.07.2023. Miernik Narda NBM 520, Sonda EF 9091 pracująca w zakresie temperatury -10°C - +50°C oraz wilgotności 5% - 95%. Niepewność rozszerzona wynosi 57,4% przy poziomie ufności 95% z uwzględnieniem współczynnika rozszerzenia k=2.
Wyposażenie pomocnicze	Termohigrometr Termoprodukt, typ: Termik+, Nr. inwentarzowy 37/WL, nr identyfikacyjny 700618, świadectwo wzorcowania nr 1763/AH/19 z dn. 29.07.2019 r. wydane przez Laboratorium Pomiarowe "MUTECH". Przymiar wstęgowy STABILA, Nr. inwentarzowy 36/WL, nr identyfikacyjny 31WL, świadectwo wzorcowania nr 6W1/1826/19 z dn. 02.08.2019 r. wydane przez Dyrektora Okręgowego Urzędu Miar w Gdańsku. GPS Garmin 64s okresowo sprawdzany w punktach osnowy geodezyjnej klasy 3 na podstawie licencji punktu, zgodnie z procedurą sprawdzeń okresowych IS/PO16-11/03.
Pomiary zostały wykonane	<ol style="list-style-type: none"><li>1. na głównych i pomocniczych kierunkach pomiarowych, na kierunkach zbliżonych do azymutów anten oraz w dodatkowych pionach pomiarowych zgodnie z wymaganiami pkt 12, 13, 14 i 19 Rozporządzenia Ministra Klimatu z dnia 17 lutego 2020 r. (Dz. U. 2020, poz. 258) oraz Rozporządzenia Ministra Klimatu i Środowiska z dnia 6 maja 2022 r. zmieniającego rozporządzenie w sprawie sposobów sprawdzania dotrzymywania dopuszczalnych poziomów pól elektromagnetycznych w środowisku (Dz.U. 2022 poz. 1121).</li><li>2. na obszarze pomiarowym, dla którego, na podstawie uprzednio przeprowadzonych obliczeń stwierdzono w miejscach dostępnych dla ludności występowanie pól elektromagnetycznych o najwyższym poziomie, które pochodzą z badanej instalacji zgodnie z wymaganiami pkt 5 ppkt 2 oraz pkt 13 ppkt 1 Rozporządzenia Ministra Klimatu z dnia 17 lutego 2020 r. w sprawie sposobów sprawdzania dotrzymania dopuszczalnych poziomów pól elektromagnetycznych w środowisku (Dz. U. 2020, poz. 258) oraz Rozporządzenia Ministra Klimatu i Środowiska z dnia 6 maja 2022 r. zmieniającego rozporządzenie w sprawie sposobów sprawdzania dotrzymywania dopuszczalnych poziomów pól elektromagnetycznych w środowisku (Dz.U. 2022 poz. 1121). Wyniki obliczeń nie uwzględniały parametrów pracy instalacji innych operatorów występujących na obiekcie bądź w obszarze pomiarowym.</li><li>3. w miejscach dostępnych dla ludności.</li><li>4. miejsca niedostępne podczas wykonywania pomiarów wskazane zostały w pkt 6 (tabeli wyniki pomiarów).</li></ol>

Szczególne warunki podczas Pomiary wykonane zostały podczas obowiązywania w kraju stanu zagrożenia

„Bez pisemnej zgody Laboratorium niniejsze sprawozdanie nie może być powielane inaczej, jak tylko w całości. Ponadto wyniki dotyczą tylko badanych obiektów przywołanych w niniejszym sprawozdaniu z badań”

wykonywanie pomiarów epidemicznego, zgodnie z art. 122a ust. 1b Ustawy z dnia 27 kwietnia 2001 r. – Prawo ochrony środowiska (Dz. U. z 2019 r. poz. 1396, z późn. zm.9)).

Warunki pracy urządzeń nadawczych Tryb pracy eksploatacyjny.

#### 4. Zróżnicowanie dopuszczalne poziomy pól elektromagnetycznych.

Zakresy znajdują się w Dzienniku Ustaw z dnia 17 grudnia 2019 r. przedstawione są w tabeli nr 2 (Dz. U. z 2019r. poz. 2448).

Parametr fizyczny	Składowa elektryczna E (V/m)	Składowa magnetyczna H (A/m)	Gęstość mocy S (W/m <sup>2</sup> )
Zakres Częstotliwości pola elektromagnetycznego			
od 400 MHz do 2000 MHz	$1,375 \times f^{0,5}$	$0,0037 \times f^{0,5}$	f / 200
od 2 GHz do 300 GHz	61	0,16	10

#### 5. Charakterystyka źródeł PEM.

Zgodnie z informacją otrzymaną od Klienta pomiary zostały wykonane przy ustawieniach pochylenia anten zgodnych z pkt. 13, ppkt 2 Rozporządzenia Ministra Klimatu z dnia 17 lutego 2020 roku.

Tabela 1. Anteny sektorowe - dane otrzymane od klienta

Charakterystyka promieniowania		kierunkowa													
Rzeczywisty czas pracy [h/dobę]		24													
Rodzaj wytwarzanego pola		stacjonarne													
L	Wyszczególnienie	sektor 1							sektor 2						
p															
<b>Nadajnik stacji bazowej:</b>															
1	Typ / Producent	RBS / SRAN Ericsson													
2	Częstotliwość (pasmo) MHz	900	800	2600	2100	1800	2100	1800	900	800	2600	2100	1800	2100	1800
3	Maksymalna moc nadawana na sektor [dBm]	47,78	49,03	52,04	50	50	50	50	47,78	49,03	52,04	50	50	50	50
<b>Obciążenie:</b>															
1	Typ anteny	Kathrein 80010456	Huawei AMB4519R6	Kathrein 742351	Kathrein 742351	Kathrein 80010306	Huawei ADU4518R6	Kathrein 742215	Kathrein 742215						
2	Producent anteny	Kathrein	Huawei	Kathrein	Kathrein	Kathrein	Huawei	Kathrein	Kathrein						
3	Nazwa anteny	23_GT V	23_GT V	11_H	21_L	21_L	22_H N	22_H N	33_GT V	33_GT V	34_H	31_L	31_L	32_H N	32_H N
4	Ilość anten	1	1	1	1	1	1	1	1	1	1	1	1	1	1
5	Azymut	31							120						
6	Zakres kątów pochylenia anten [°]	0,5-10	0,5-10	2-12	0-8	0-8	0-8	0-8	0,5-9,5	0,5-9,5	0-12	0-10	0-10	0-10	0-10
7	Wysokość zainst. n.p.t. [m]	27,50	48,70	48,70	48,70	48,70	27,50	48,70	48,70	48,70	48,70	48,70	48,70	48,70	48,70
8	EIRP [W]	13321	13657	19749	19749	19749	19749	19749	6692	10122	10122	11490	11490	11490	11490

„Bez pisemnej zgody Laboratorium niniejsze sprawozdanie nie może być powielane inaczej, jak tylko w całości. Ponadto wyniki dotyczą tylko badanych obiektów przywołanych w niniejszym sprawozdaniu z badań”

Charakterystyka promieniowania		kierunkowa													
Rzeczywisty czas pracy [h/dobę]		24													
Rodzaj wytwarzanego pola		stacjonarne													
Lp	Wyszczególnienie	sektor 3							sektor 4						
I Nadajnik stacji bazowej:															
1	Typ / Producent	RBS / SRAN Ericsson													
2	Częstotliwość (pasmo) MHz	900	800	2600	2100	1800	2100	1800	900	800	2600	2100	1800	2100	1800
3	Maksymalna moc nadawana na sektor [dBm]	47,78	49,03	52,04	50	50	50	50	47,78	49,03	52,04	50	50	50	50
II Obciążenie:															
1	Typ anteny	Kathrein 80010306		Huawei ADU4518R6		Kathrein 742215		Kathrein 742215		Kathrein 80010456		Huawei AMB4519R6		Kathrein 742351	
2	Producent anteny	Kathrein		Huawei		Kathrein		Kathrein		Kathrein		Huawei		Kathrein	
3	Nazwa anteny	43_GT V	43_GT V	44_H		41_L	41_L	42_H N	42_H N	53_GT V	53_GT V	11_H		51_L	51_L
4	Ilość anten	1		1		1		1		1		1		1	
5	Azymut	240							329						
6	Zakres kątów pochylenia anten [°]	0,5-9,5	0,5-9,5	0-12		0-10	0-10	0-10	0-10	0,5-10	0,5-10	2-12		0-8	0-8
7	Wysokość zainst. n.p.t. [m]	27,50		48,70		48,70		48,70		27,50		48,7		48,7	
8	EIRP [W]	6692		10122		11490		11490		13321		13657		19749	

Tabela 2. Anteny radioliniowe- dane otrzymane od klienta

Charakterystyka promieniowania				kierunkowa			
Rzeczywisty czas pracy [h/dobę]				24			
Rodzaj wytwarzanego pola				stacjonarne			
Lp	Linia radiowa			Antena			
	typ/producent	częstotliwość pracy [GHz]	moc wyjściowa [dBm]	typ/producent	średnica anteny [m]	azymut [°]	wysokość zainstal. [m]
1	OPTIX RTN/HUAWEI	80	18	VHLP1-80/Andrew	0,3	85	55,80
2	OPTIX RTN/HUAWEI	80	18	VHLP1-80/Andrew	0,3	89	71,20
3	OPTIX RTN/HUAWEI	80	18	VHLP1-80/Andrew	0,3	132	71,75
4	OPTIX RTN/HUAWEI	13	29	VHLPX2-13/Andrew	0,6	218	71,75
5	OPTIX RTN/HUAWEI	23	21	VHLPX2-23/Andrew	0,6	279	56,45
6	OPTIX RTN/HUAWEI	80	18	VHLP1-80/Andrew	0,3	327	71,90

## 6. Wyniki pomiarów.

Wyniki pomiarów pól elektromagnetycznych dla celów ochrony środowiska przedstawia poniższa tabela. Piony pomiarowe zostały przedstawione w zał. 2.

Nr PP	Pole-E [V/m]	Pole-E, +U [V/m]	Pole-H [A/m]	Pole-H +U [A/m]	Wys. pomiaru [m]	Opis pionu	Uwagi	WM <sub>E</sub>	WM <sub>H</sub>
1	1,0	1,57	0,003	0,004	0,3-2,0	N:50°52'32.0" E:20°35'36.6"	otoczenie stacji bazowej - 100m wzdłuż gł. osi promieniowania - GKP	0,056	0,057
2	1,1	1,73	0,003	0,005	0,3-2,0	N:50°52'34.8" E:20°35'39.7"	otoczenie stacji bazowej - 200m wzdłuż gł. osi promieniowania - GKP	0,062	0,063
3	0,8	1,26	0,002	0,003	0,3-2,0	N:50°52'37.4" E:20°35'42.3"	otoczenie stacji bazowej - 300m wzdłuż gł. osi promieniowania - GKP	0,045	0,046
4	0,9	1,41	0,002	0,004	0,3-2,0	N:50°52'39.8" E:20°35'45.2"	otoczenie stacji bazowej - 400m wzdłuż gł. osi promieniowania- GKP	0,050	0,051
5	0,8	1,26	0,002	0,003	0,3-2,0	N:50°52'42.3" E:20°35'47.2"	otoczenie stacji bazowej - 490m wzdłuż gł. osi promieniowania - GKP	0,045	0,046

„Bez pisemnej zgody Laboratorium niniejsze sprawozdanie nie może być powielane inaczej, jak tylko w całości. Ponadto wyniki dotyczą tylko badanych obiektów przywołanych w niniejszym sprawozdaniu z badań”

6	1,0	1,57	0,003	0,004	0,3-2,0	N:50°52'27.4" E:20°35'38.5"	otoczenie stacji bazowej - 100m wzdłuż gł. osi promieniowania - GKP	0,056	0,057
7	0,8	1,26	0,002	0,003	0,3-2,0	N:50°52'26.1" E:20°35'42.3"	otoczenie stacji bazowej - 200m wzdłuż gł. osi promieniowania - GKP	0,045	0,046
8	0,7*	1,26	0,002	0,003	0,3-2,0	N:50°52'24.5" E:20°35'46.7"	otoczenie stacji bazowej - 300m wzdłuż gł. osi promieniowania - GKP	0,045	0,046
9	0,7*	1,26	0,002	0,003	0,3-2,0	N:50°52'22.5" E:20°35'51.8"	otoczenie stacji bazowej - 400m wzdłuż gł. osi promieniowania- GKP	0,045	0,046
10	0,7*	1,26	0,002	0,003	0,3-2,0	N:50°52'21.3" E:20°35'54.4"	otoczenie stacji bazowej - 490m wzdłuż gł. osi promieniowania - GKP	0,045	0,046
11	1,1	1,73	0,003	0,005	0,3-2,0	N:50°52'27.6" E:20°35'29.3"	otoczenie stacji bazowej - 100m wzdłuż gł. osi promieniowania - GKP	0,062	0,063
12	0,8	1,26	0,002	0,003	0,3-2,0	N:50°52'26.2" E:20°35'25.2"	otoczenie stacji bazowej - 200m wzdłuż gł. osi promieniowania - GKP	0,045	0,046
13	0,7*	1,26	0,002	0,003	0,3-2,0	N:50°52'24.5" E:20°35'20.6"	otoczenie stacji bazowej - 300m wzdłuż gł. osi promieniowania - GKP	0,045	0,046
14	0,8	1,26	0,002	0,003	0,3-2,0	N:50°52'22.9" E:20°35'15.6"	otoczenie stacji bazowej - 400m wzdłuż gł. osi promieniowania- GKP	0,045	0,046
15	0,7*	1,26	0,002	0,003	0,3-2,0	N:50°52'21.8" E:20°35'12.4"	otoczenie stacji bazowej - 490m wzdłuż gł. osi promieniowania - GKP	0,045	0,046
16	1,2	1,88	0,003	0,005	0,3-2,0	N:50°52'31.8" E:20°35'31.7"	otoczenie stacji bazowej - 100m wzdłuż gł. osi promieniowania - GKP	0,067	0,068
17	0,7*	1,26	0,002	0,003	0,3-2,0	N:50°52'34.9" E:20°35'29.3"	otoczenie stacji bazowej - 200m wzdłuż gł. osi promieniowania - GKP	0,045	0,046
18	0,7*	1,26	0,002	0,003	0,3-2,0	N:50°52'37.7" E:20°35'26.6"	otoczenie stacji bazowej - 300m wzdłuż gł. osi promieniowania - GKP	0,045	0,046
19	0,7*	1,26	0,002	0,003	0,3-2,0	N:50°52'40.5" E:20°35'23.7"	otoczenie stacji bazowej - 400m wzdłuż gł. osi promieniowania- GKP	0,045	0,046
20	0,7*	1,26	0,002	0,003	0,3-2,0	N:50°52'42.7" E:20°35'21.8"	otoczenie stacji bazowej - 490m wzdłuż gł. osi promieniowania - GKP	0,045	0,046
21	1,1	1,73	0,003	0,005	0,3-2,0	N:50°52'31.2" E:20°35'37.1"	otoczenie stacji bazowej - GKP	0,062	0,063
22	0,9	1,41	0,002	0,004	0,3-2,0	N:50°52'29.1" E:20°35'39.3"	otoczenie stacji bazowej - 100m wzdłuż gł. osi promieniowania - GKP	0,050	0,051
23	0,9	1,41	0,002	0,004	0,3-2,0	N:50°52'27.2" E:20°35'38.1"	otoczenie stacji bazowej - 100m wzdłuż gł. osi promieniowania - GKP	0,050	0,051
24	0,7*	1,26	0,002	0,003	0,3-2,0	N:50°52'26.7" E:20°35'30.9"	otoczenie stacji bazowej - 100m wzdłuż gł. osi promieniowania - GKP	0,045	0,046
25	0,8	1,26	0,002	0,003	0,3-2,0	N:50°52'29.6" E:20°35'28.3"	otoczenie stacji bazowej - 100m wzdłuż gł. osi promieniowania - GKP	0,045	0,046
26	0,8	1,26	0,002	0,003	0,3-2,0	N:50°52'30.4" E:20°35'38.8"	otoczenie stacji bazowej - GKP	0,045	0,046
27	0,9	1,41	0,002	0,004	0,3-2,0	N:50°52'26.7" E:20°35'34.0"	otoczenie stacji bazowej -PKP	0,050	0,051
28	0,9	1,41	0,002	0,004	0,3-2,0	N:50°52'30.3" E:20°35'30.8"	otoczenie stacji bazowej -PKP	0,050	0,051
29	1,0	1,57	0,003	0,004	0,3-2,0	N:50°52'32.3" E:20°35'33.4"	otoczenie stacji bazowej - GKP	0,056	0,057
30	0,8	1,26	0,002	0,003	0,3-2,0	N:50°52'33.7" E:20°35'32.3"	otoczenie stacji bazowej - GKP	0,045	0,046
A	0,9	1,41	0,002	0,004	0,3-2,0	N:50°52'27.4" E:20°35'38.9"	Brak adresu, pomiar przed budynkiem -DPP	0,050	0,051
B	0,7*	1,26	0,002	0,003	0,3-2,0	N:50°52'24.4" E:20°35'46.1"	Podklasztorna 32, pomiar przed bramą -DPP	0,045	0,046
C	0,7*	1,26	0,002	0,003	0,3-2,0	N:50°52'23.6" E:20°35'49.8"	Artwińskiego 9, pomiar przed budynkiem -DPP	0,045	0,046
D	0,7*	1,26	0,002	0,003	0,3-2,0	N:50°52'24.3" E:20°35'57.9"	Podklasztorna 33, pomiar przed budynkiem -DPP	0,045	0,046
E	1,0	1,57	0,003	0,004	0,3-2,0	N:50°52'31.2" E:20°35'37.1"	Gwarków 1, pomiar przed budynkiem -DPP	0,056	0,057
F	1,1	1,73	0,003	0,005	0,3-2,0	N:50°52'34.7" E:20°35'39.7"	Piekoszowska 85, pomiar przed wejściem -DPP	0,062	0,063
G	0,8	1,26	0,002	0,003	0,3-2,0	N:50°52'36.4" E:20°35'41.5"	Piekoszowska 83 pomiar przed budynkiem -DPP	0,045	0,046
H	0,8	1,26	0,002	0,003	0,3-2,0	N:50°52'39.2" E:20°35'43.4"	Rzepichy 15, pomiar przed budynkiem -DPP	0,045	0,046

„Bez pisemnej zgody Laboratorium niniejsze sprawozdanie nie może być powielane inaczej, jak tylko w całości. Ponadto wyniki dotyczą tylko badanych obiektów przywołanych w niniejszym sprawozdaniu z badań”  
105/03/OŚ/2023– P4-W

I	0,9	1,41	0,002	0,004	0,3-2,0	N:50°52'39.5" E:20°35'43.9"	Rzepichy 18, pomiar przed budynkiem -DPP	0,050	0,051
J	0,9	1,41	0,002	0,004	0,3-2,0	N:50°52'41.4" E:20°35'46.0"	Piastowska 15, pomiar przed budynkiem -DPP	0,050	0,051
K	0,7*	1,26	0,002	0,003	0,3-2,0	N:50°52'35.4" E:20°35'27.9"	Starowiejska 18, pomiar przed budynkiem -DPP	0,045	0,046
L	0,7*	1,26	0,002	0,003	0,3-2,0	N:50°52'37.3" E:20°35'26.3"	Starowiejska 24A, pomiar przed budynkiem -DPP	0,045	0,046
M	0,7*	1,26	0,002	0,003	0,3-2,0	N:50°52'38.6" E:20°35'25.1"	Piekoszowska 107A, pomiar przed bramą -DPP	0,045	0,046
N	0,7*	1,26	0,002	0,003	0,3-2,0	N:50°52'40.2" E:20°35'24.3"	Piekoszowska 107, pomiar przed bramą -DPP	0,045	0,046
O	0,7*	1,26	0,002	0,003	0,3-2,0	N:50°52'41.5" E:20°35'22.7"	Piekoszowska 116A, pomiar przed budynkiem -DPP	0,045	0,046
P	Brak dostępu – budynek przemysłowy								

Wynik pomiaru pole - E [V/m] - maksymalna wartość chwilowa zmierzona w danym pionie pomiarowym (uśredniona na podstawie punktu 11 załącznika do Rozporządzenia Ministra Klimatu z dnia 17 lutego 2020 r. w sprawie sposobów sprawdzania dotrzymania dopuszczalnych poziomów pól elektromagnetycznych w środowisku (Dz.U. 2020 poz. 258, Dz.U. 2022 poz. 1121)). Zgodnie z pkt. 7 załącznika do Rozporządzenia Ministra Klimatu z dnia 17 lutego 2020 r. w sprawie sposobów sprawdzania dotrzymania dopuszczalnych poziomów pól elektromagnetycznych w środowisku (Dz.U. 2020 poz. 258, Dz.U. 2022 poz. 1121) nie stosuje się poprawek pomiarowych.

Przyjęto najniższą dopuszczalną wartość składowej elektrycznej pola dla objętego pomiarami zakresu częstotliwości  $\min(ME_{gr}) = 28 \text{ V/m}$  oraz składowej magnetycznej  $\min(MH_{gr}) = 0,073 \text{ A/m}$ .

\* - wartość zmierzona poniżej zakresu akredytacji. Do obliczeń przyjęto wartość zgodną z dolną granicą akredytowanego zakresu pomiarowego metody.

GKP - główne kierunki pomiarowe

PKP - pomocnicze kierunki pomiarowe

DPP - dodatkowe punkty pomiarowe

PP - pion pomiarowy

U - niepewność pomiarowa rozszerzona, przy poziomie ufności 95%, z uwzględnieniem współczynnika rozszerzenia  $k=2$

$WM_E$  - wartość wskaźnikowa poziomu emisji pól elektromagnetycznych dla miejsc dostępnych dla ludności dla składowej elektrycznej pola

$WM_H$  - wartość wskaźnikowa poziomu emisji pól elektromagnetycznych dla miejsc dostępnych dla ludności dla składowej magnetycznej pola

## 7. Stwierdzenie zgodności

Na podstawie wytycznych podanych w Rozporządzeniu Ministra Zdrowia z dnia 17 grudnia 2019 r. w sprawie dopuszczalnych poziomów pól elektromagnetycznych w środowisku (Dz.U. 2019 poz. 2448) oraz sposobów sprawdzania dotrzymania tych poziomów zgodnie z Rozporządzeniem Ministra Klimatu z dnia 17 lutego 2020 r. w sprawie sposobów sprawdzania dotrzymania dopuszczalnych poziomów pól elektromagnetycznych w środowisku (Dz.U. 2020 poz. 258) oraz Rozporządzeniem Ministra Klimatu i Środowiska z dnia 6 maja 2022 r. zmieniającego rozporządzenie w sprawie sposobów sprawdzania dotrzymywania dopuszczalnych poziomów pól elektromagnetycznych w środowisku (Dz.U. 2022 poz. 1121), dotyczących źródła wymagań, które muszą być spełnione, w oparciu o zasadę podejmowania decyzji zgodną z pkt. 26 Rozporządzenia Ministra Klimatu z dnia 17 lutego 2020 r. (Dz.U. 2020 poz. 258), na podstawie wyników pomiarów pól elektromagnetycznych wykonanych w dniu 31.03.2023 stwierdzono, że wszystkie wyniki przeprowadzonych pomiarów w danym obszarze pomiarowym oraz wyznaczone na tej podstawie wskaźniki  $WME$  oraz  $WMH$  są mniejsze od wartości dopuszczalnych – zgodnie z przepisami wydanymi na podstawie art. 122 ust. 1 ustawy z dnia 27 kwietnia 2001 r. – Prawo ochrony środowiska – załącznikiem do Rozporządzenia Ministra Klimatu i Środowiska z dnia 17 lutego 2020 r. w sprawie sposobów sprawdzania dotrzymywania dopuszczalnych poziomów pól elektromagnetycznych w środowisku (Dz.U. 2020 poz. 258, pkt 26).

## 8. Oświadczenie.

Wyniki badania odnoszą się wyłącznie do badanego obiektu.

Bez pisemnej zgody sprawozdanie nie może być powielane inaczej, jak tylko w całości.

„Bez pisemnej zgody Laboratorium niniejsze sprawozdanie nie może być powielane inaczej, jak tylko w całości. Ponadto wyniki dotyczą tylko badanych obiektów przywołanych w niniejszym sprawozdaniu z badań”



Uwagi i zastrzeżenia przyjmowane są w formie pisemnej.

## 9. Spis załączników.

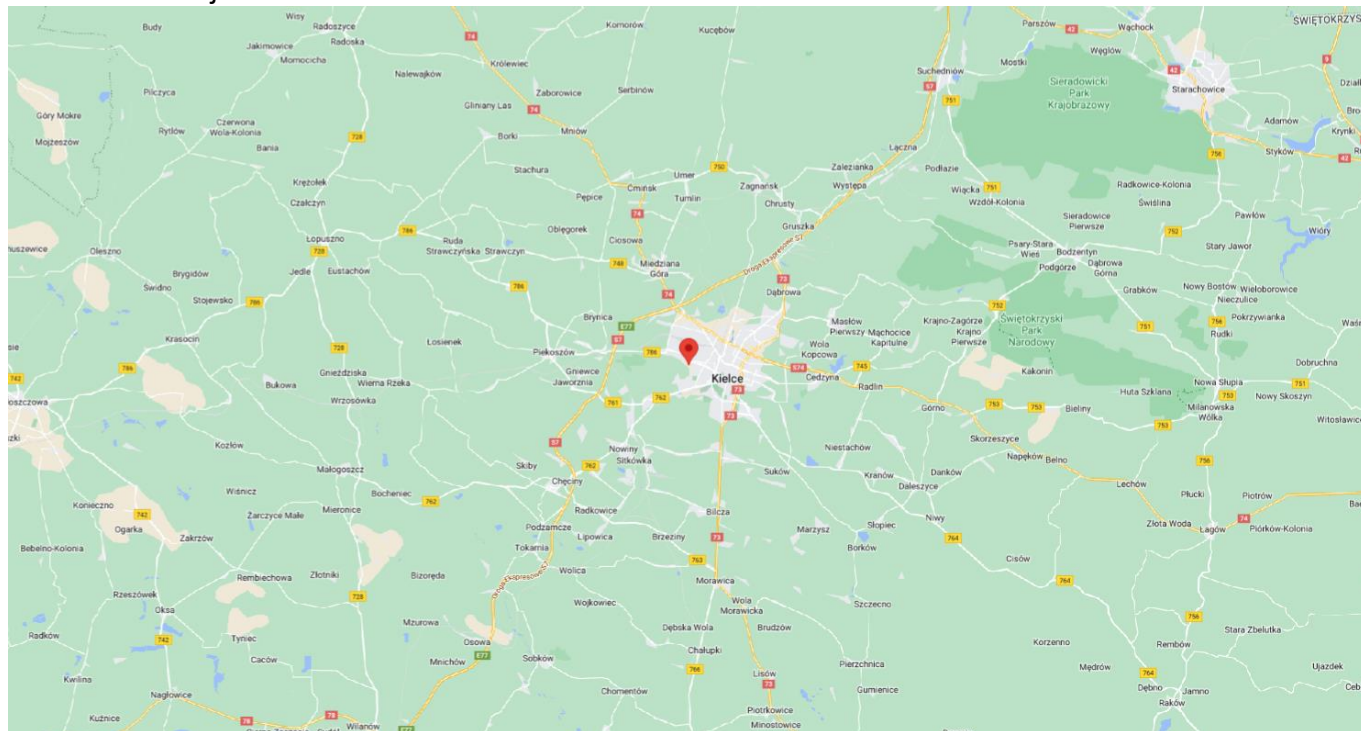
Załącznik 1. Lokalizacja obiektu.

Załącznik 2. Widok pionów pomiarowych

Załącznik 3. Załączniki graficzne

**Koniec sprawozdania**

### Załącznik 1. Lokalizacja obiektu

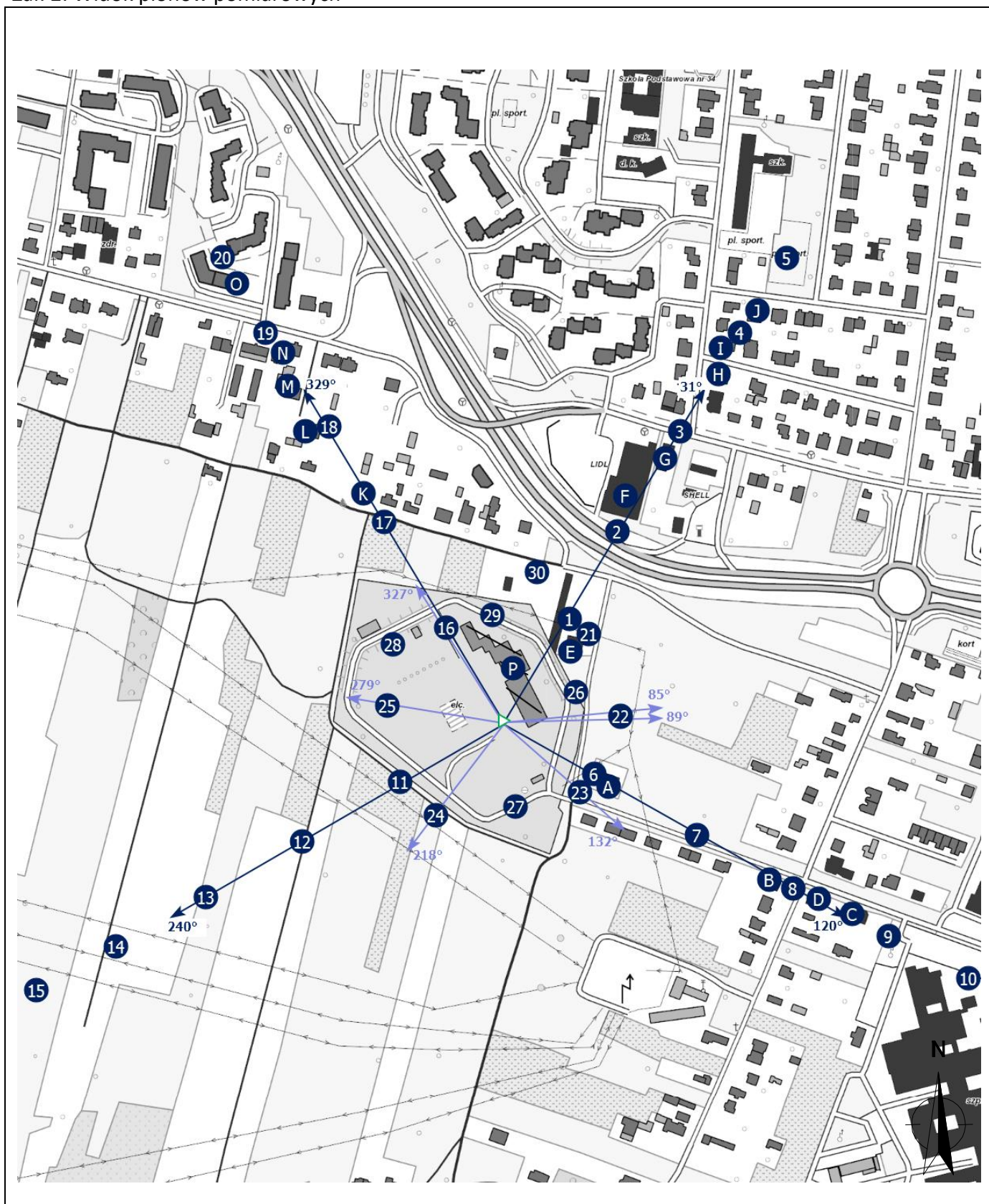


Współrzędne geograficzne

długość: 20°35'33.78"E

szerokość: 50°52'29.39"N

## Załącznik 2. Widok pionów pomiarowych



### LEGENDA:



inna instalacja radiokomunikacyjna



brak dostępu



pion pomiaru

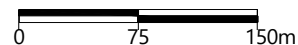


antena sektorowa



antena radioliowa

Skala: 1:5600



Załącznik 3. Załączniki graficzne.

